

**ГАЗИФИКАЦИЯ ДИСПЕРСНОГО УГЛЕРОДА  
В ДИФФУЗИОННЫХ ПЛАМЕНАХ УГЛЕВОДОРОДОВ.  
I. ПЛАМЕНА АЦЕТИЛЕН-АЗОТНЫХ СМЕСЕЙ**

*A. M. Цыбулевский, P. A. Теснер*  
(Москва)

Газификация углерода в пламенах имеет большое значение для ряда промышленных процессов, но исследована она недостаточно. Опубликованные по этой проблеме работы носят качественный характер и по-разному объясняют процессы, приводящие к исчезновению углерода в пламенах.

Комерфорд [1] и Кларк с сотрудниками [2, 3] на основании косвенных измерений, проведенных в ламинарных диффузионных пламенах, пришли к выводу, что сгорание сажевых частиц происходит после сгорания газа в результате проникновения кислорода из окружающей среды. Гейдон и Вольфгард [4], напротив, считают, что углерод газифицируется продуктами горения.

В настоящей работе предпринята попытка количественного изучения газификации углерода в диффузионных пламенах.

1. Закономерности процесса газификации углерода в диффузионном пламени изучались по изменению весового потока и дисперсности сажи в верхней части ламинарных пламен ацетилен-азотных смесей, свободно горящих в неограниченном объеме воздуха.

Горелка (фарфоровая трубка внутренним диаметром 3 мм и длиной 250 мм) была снабжена специальным устройством, предназначенным для ее вертикального перемещения (рис. 1). Пламя стабилизировалось при помощи экрана из медной сетки с 1000 отверстиями на 1 см<sup>2</sup>. Прекращение горения и отбор проб сажи из пламени осуществлялись двумя способами [5, 6]. При первом способе (рис. 1, а) сажа собиралась на осадительной поверхности, в качестве которой был использован швеллер из нержавеющей стали размерами 3×200×450 мм, установленный на опоре горизонтально в 20 мм над экраном. Второй способ заключался в гашении пламени водоохлаждаемой капиллярной решеткой с последующим улавливанием сажи мешочным фильтром (рис. 1, б).

Продолжительность опытов составляла от 3 до 5 мин. Вся отобранная за опыт сажа собиралась, высушивалась и взвешивалась. Дисперсность сажи определялась кинетическим методом [7]. Удельная поверхность ряда образцов, отобранных из исследованных пламен, была определена также методом БЭТ по адсорбции паров бензола. Кроме того, дисперсность трех образцов сажи измерена электронно-микроскопическим методом.

Температура в зоне горения измерялась четырьмя термопарами ПР30-ПР6 с диаметрами термоэлектродов: 0,4; 0,3; 0,15 и 0,09 мм.

Истинная температура определялась путем экстраполирования к нулевому диаметру.

Газовые пробы отбирались медным водоохлаждаемым пробоотборником с внутренним диаметром заборной трубы, равным 0,4 мм, и кварцевым с входным отверстием 0,3 мм. Специальное устройство, снабжен-

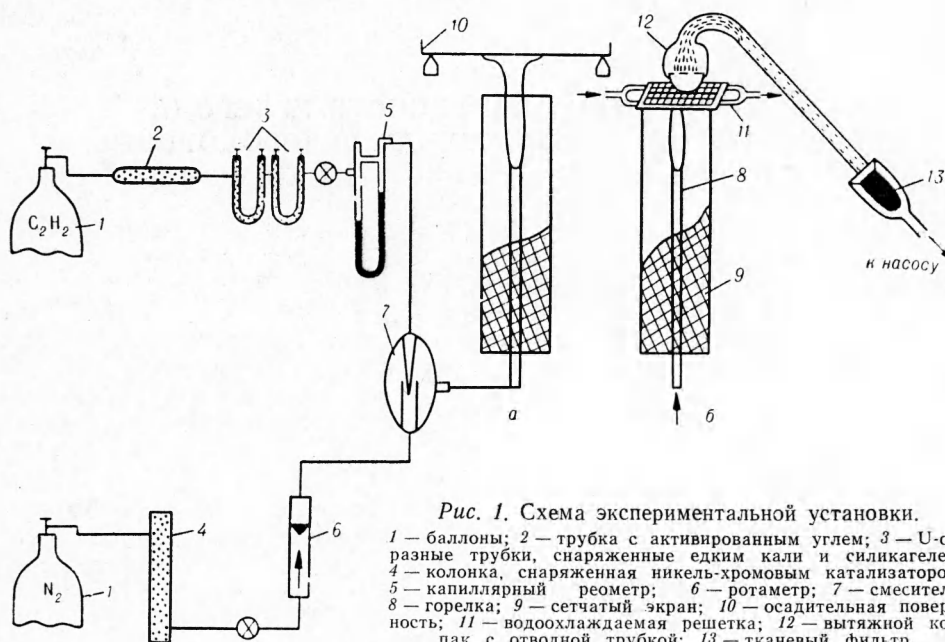


Рис. 1. Схема экспериментальной установки.  
1 — баллоны; 2 — трубка с активированным углем; 3 — U-образные трубы, снаряженные едким калием и силикагелем; 4 — колонка, снаряженная никель-хромовым катализатором; 5 — капиллярный реометр; 6 — ротаметр; 7 — смеситель; 8 — горелка; 9 — сетчатый экран; 10 — осадительная поверхность; 11 — водоохлаждаемая решетка; 12 — вытяжной колпак с отводной трубкой; 13 — тканевый фильтр.

ное микрометрическим винтом, позволяло перемещать пробоотборник по поперечному сечению пламени с точностью до 0,01 мм. Анализ продуктов горения производили на хроматографе ХТ-2МУ и аппарате ВТИ-2.

Исследовались пламена следующих смесей.

А — 20%  $C_2H_2$ , 80%  $N_2$  (расходы: ацетилен — 0,4, азот — 1,6 л/мин). Высота пламени 185, диаметр 9 мм (рис. 2).

$A_1$  — 14%  $C_2H_2$ , 86%  $N_2$  (расходы: ацетилен — 0,350, азот — 2,1 л/мин). Высота пламени 175, диаметр 11 мм.

Б — 13,3%  $C_2H_2$ , 6,7%  $C_6H_6$ , 80%  $N_2$  (расходы: ацетилен — 0,350, бензол — 0,180, азот — 2,1 л/мин). Высота пламени 235, диаметр 11,5 мм.

Максимальная температура в верхней части пламени А составляла 2043° К, пламени  $A_1$  — 1943° К, пламени Б — 1836° К.

Все эти пламена имеют вид ярко светящегося конуса, окруженного тонкой голубой зоной горящих газов (рис. 2). В нижней части по оси пламени расположена темная зона неразложившегося топлива.

Результаты измерения весового потока и дисперсности сажи в пламени А на различных расстояниях от устья горелки представлены на рис. 3. Точки, по которым построены кривые, представляют средние значения не менее четырех определений. Максимальные отклонения между параллельными измерениями не превышали 5%.

Кривые рис. 3 показывают, что при осаждении сажи на металлическую поверхность, по-видимому, происходит некоторое дополнительное обгорание сажевых частиц, но практически неизменная форма кривых

свидетельствует о том, что оно не оказывает существенного влияния на характер изучаемого процесса.

В табл. 1 сопоставлены результаты измерения удельной поверхности кинетическим методом, методом БЭТ и электронно-микроскопическим методом.

Кривые распределения (рис. 4) рассчитаны по электронно-микро-

Таблица 1

Расстояние от устья горелки, мм	Удельная поверхность, м <sup>2</sup> /г		
	кинетический метод	метод БЭТ	электронно-микроскопический метод
110	133	127	119
120	148	149	—
130	177	176	159
150	221,5	237	236

*Пламя А*

110	133	127	119
120	148	149	—
130	177	176	159
150	221,5	237	236

*Пламя А<sub>1</sub>*

130	261	224	—
140	295	274	—

*Пламя Б*

140	135	132	—
150	143	146,5	—
170	174	172,7	—
190	202	214	—

Таблица 2

Расстояние от устья горелки, мм (внутри светящейся зоны)	Содержание* О <sub>2</sub> , % (об.)	Расстояние от устья горелки, мм (снаружи светящейся зоны)	Содержание* О <sub>2</sub> , % (об.)
120	Не обн.	120	0,36
130	"	130	0,41
150	0,09	150	0,75
160	—	160	1,28

*Пламя А*

120	Не обн.	120	0,36
130	"	130	0,41
150	0,09	150	0,75
160	—	160	1,28

*Пламя А<sub>1</sub>*

140	Не обн.	140	0,29
150	"	150	0,38

\* Анализ на кислород производили на хроматографе с использованием аргона в качестве газа-носителя [8].

скопическим снимкам образцов сажи с целью выяснения изменений распределения частиц при удалении от устья горелки.

Максимум кривых 2 и 3 (средние диаметры соответственно 202 и 136 Å) сдвинуты по отношению к максимуму кривой 1 (средний диаметр 277 Å) в сторону частиц меньших размеров, а ход кривых 2 и 3 с достаточной для электронно-микроскопического метода точностью повторяет ход кривой 1. Некоторое отличие левой ветви кривой 3 объясняется, по-видимому, тем, что соответствующие частицы лежат в области, приближающейся к разрешающей способности электронного микроскопа (13 Å), что в значительной степени снижает точность их подсчета.

Концентрационные профили СО<sub>2</sub>, CO и H<sub>2</sub> в верхней части пламени даны на рис. 5.

Для выяснения роли кислорода в газификации углерода, генерируемого диффузионным пламенем, были отобраны пробы газа на расстоянии 0,1 мм по обе стороны от края светящейся зоны. Результаты, приведенные в табл. 2, показывают, что кислород проникает в сажевую зону лишь в самой верхушке пламени.

2. Кривые изменения весового потока сажи (см. рис. 3) имеют ярко выраженный максимум. Часть кривых, показанная штрихами, относится к тому участку пламени, где происходит образование и рост частиц [5, 6]. После прохождения через максимум кривая выпрямляется (показано сплошной линией). Этот участок пламени характеризуется процессом газификации сажи.

Линейный характер уменьшения весового потока, а также значительное возрастание дисперсности с увеличением расстояния от устья

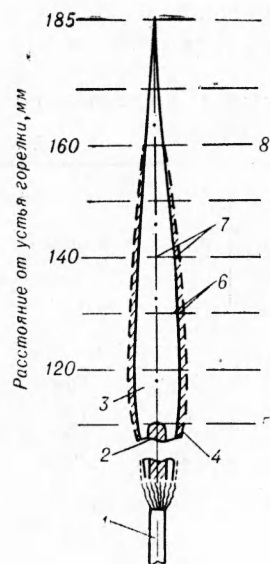


Рис. 2. Схема пламени А.  
1 — горелка; 2 — темная зона;  
3 — светящаяся зона; 4 — голу-  
бая зона; 5 — начало газифика-  
ции углерода; 6 — точки отбора  
проб на кислород; 7 — точки от-  
бора проб продуктов горения;  
8 — начало проникновения кисло-  
рода внутрь светящейся зоны.

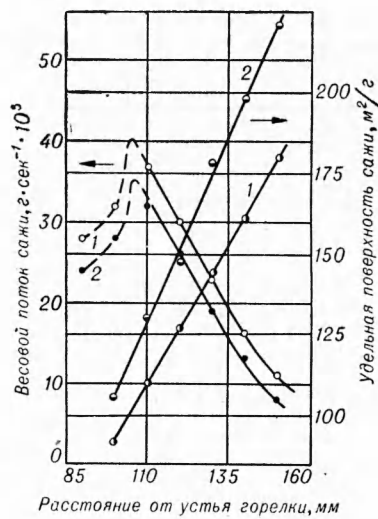


Рис. 3. Весовой поток и дисперс-  
ность сажи в пламени А.

1 — весовой поток и дисперсность сажи,  
отобранный при помощи водоохлаждаемой  
решетки; 2 — весовой поток и дис-  
персность сажи, отобранный при помо-  
щи осадительной поверхности.

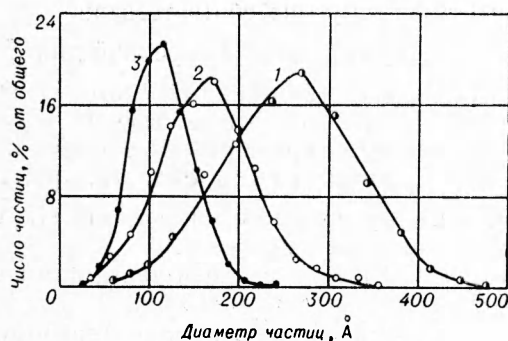


Рис. 4. Кривые распределения частиц по  
размерам (пламя А).  
Расстояние от устья горелки: 1 — 110 мм; 2 —  
130 мм; 3 — 150 мм.

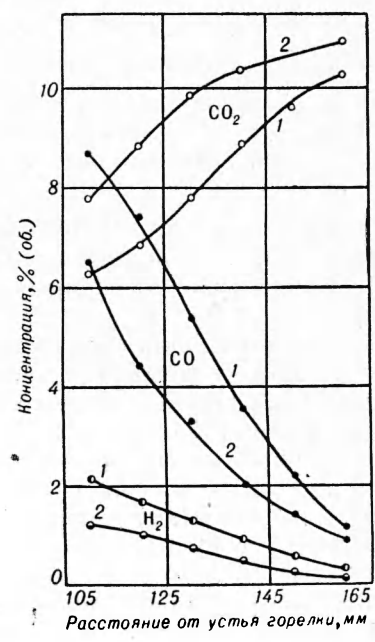


Рис. 5. Концентрационные профили про-  
дуктов горения в верхней части пламени А.  
1 — по оси пламени; 2 — у края светящейся  
зоны.

горелки показывает, что при этом не происходит значительного изменения числа частиц. Из постоянства числа частиц сферической формы на основании простых геометрических соотношений можно вывести следующую формулу:

$$\frac{d_1}{d_2} = \left( \frac{m_1}{m_2} \right)^{\frac{1}{3}}, \quad (1)$$

где  $d_1, d_2$  — начальный и конечный диаметры частиц;  $m_1, m_2$  — начальный и конечный весовые потоки сажи.

Из тех же геометрических соображений, обычно выводят формулу для расчета удельной поверхности в момент выгорания [9]

$$S = S_0 \frac{1}{(1-u)^{\frac{1}{3}}}, \quad (2)$$

где  $S$  — удельная поверхность в момент выгорания;  $S_0$  — начальная удельная поверхность;  $u$  — величина обогара.

Результаты расчетов по формулам (1), (2) приведены в табл. 3, откуда видно вполне удовлетворительное соблюдение соотношения (1)

Таблица 3

Расстояние от устья горелки, мм	Весовой поток сажи, г·сек <sup>-1</sup> ·10 <sup>5</sup>	Удельная поверхность, м <sup>2</sup> /г		Диаметр частиц, Å	$\frac{d_1}{d_2}$	$\left( \frac{m_1}{m_2} \right)^{\frac{1}{3}}$
		экспериментальная величина	по формуле (2)			
<i>Пламя A</i>						
110	32	133	142	240	1,10	1,08
120	26	148	142	217	1,18	1,11
130	19	177	172	182	1,12	1,14
140	13	198	198	162	1,13	1,16
150	8	221,5	227	143	1,08	1,17
160	5	243	262	132		
<i>Пламя A<sub>1</sub></i>						
130	6,6	261	292	124	1,11	1,10
140	5,0	295	110			
<i>Пламя Б</i>						
100	43	135	144	255	1,13	1,06
150	36	143	158	226	1,12	1,07
160	29	157	172	203	1,10	1,10
170	21	174	185			

и хорошее согласование между измеренными и рассчитанными величинами удельных поверхностей для всех исследованных пламен. Последнее обстоятельство, а также результаты электронно-микроскопических измерений позволяют считать установленным равномерное уменьшение диаметра сажевых частиц без видимого изменения их числа в процессе газификации в верхней части ламинарного диффузионного пламени.

Этот факт может быть объяснен только постоянством концентрации реагирующего газа по сечению саже-газового потока. Реагентами, которые отвечают этому требованию, являются двуокись углерода и водяной пар.

Приведенные результаты эксперимента не подтверждают схему, которой придерживаются некоторые исследователи [1—3], по которой следует, что число частиц должно бы уменьшаться за счет сгорания в диффундирующем из окружающего воздуха во фронт кислороде, в то время как дисперсность углерода в центре пламени должна бы оставаться неизменной.

На основании исследований Каржавиной [10] можно заключить, что для поддержания горения во фронте пламени А на расстояниях до 150 мм вполне достаточно одного лишь содержания CO (см. рис. 5). Выше 150 мм концентрация CO и H<sub>2</sub> падает настолько, что фронт горения не образуется, и кислород начинает проникать внутрь сажевой зоны (см. табл. 2). При этом, как видно из табл. 3, происходит уменьшение числа частиц. Следует отметить, что к моменту проникновения кислорода в сажевую зону во всех исследованных пламенах основная часть углерода (около 90% от первоначально образовавшегося) уже подверглась газификации.

Следовательно, основную роль в процессе исчезновения сажи в верхней части диффузионных пламен исследованного типа играют реакции углерода с двуокисью углерода и водяным паром. Возрастание же по оси пламени концентрации CO<sub>2</sub> и снижение концентраций CO и H<sub>2</sub> (см. рис. 5), объясняется уменьшением с удалением от устья горелки расстояния диффузии газов, диффундирующих из внешнего конуса в центр и от центра к периферии соответственно. Косвенно эффект газификации характеризуется сближением кривых, показывающих содержание компонентов по оси и у края сажевой зоны в направлении распространения пламени.

На основании проведенных исследований картину исчезновения углерода в диффузионном пламени можно описать следующим образом.

В результате пиролиза топлива образуется дисперсный углерод и водород. Углерод не вступает непосредственно в реакцию с кислородом. Водород и образующаяся при горении топлива окись углерода диффундируют в кислородную зону, где сгорают. Продукты их горения (двуокись углерода и водяной пар) вследствие диффузии частично возвращаются в пламя, где вступают в реакцию с углеродом. Продукты газификации CO и H<sub>2</sub> вновь диффундируют в зону горения и т. д. до тех пор, пока концентрация горючих компонентов не снизится настолько, что они не смогут поддерживать горение во фронте. Кислород начинает проникать внутрь сажевой зоны и реагировать с раскаленными сажевыми частицами. Описанная схема должна быть достоверна и для богатых пламен бунзеновского типа, поскольку их верхняя часть представляет собой вариант диффузионной модели.

К интересному выводу приводит сопоставление в табл. 1 величин удельных поверхностей, полученных по кинетическому методу и методу БЭТ. Известно, что кинетический метод дает величину удельной поверхности, соответствующую внешней геометрической поверхности частиц [11], тогда как величина удельной поверхности, определяемая по адсорбционным измерениям, учитывает также и пористость частиц. Совпадение между собой результатов измерений указывает на то, что процесс газификации дисперсного углерода в диффузионном пламени происходит без развития внутренней поверхности. Это можно объяснить только относительно высокой температурой (1840—2040° K), так как известно, что окисление при более низких температурах приводит к появлению пористости.

Поступила в редакцию  
6/XI 1965

ЛИТЕРАТУРА

1. F. M. Comerford. Fuel, 1956, **35**, 3.
2. T. P. Clark. Jnd. Eng. Chem., 1953, **45**, 12.
3. R. L. Schalla, T. P. Clark, G. E. Donald. NACA Report, 1954, № 1186.
4. А. Г. Гейдон, Х. Г. Вольфгард. Пламя. Его структура, излучение и температура, Металлургиздат, 1959.
5. Е. Я. Робинович, П. А. Теснер. Тр. ВНИИГАЗ, Гостоптехиздат, 1957, вып. 1 (9).
6. Е. Я. Робинович. Тр. ВНИИГАЗ, Гостоптехиздат, 1961, вып. 12 (20).
7. П. А. Теснер, И. С. Рафалькес. Докл. АН СССР, 1951, **80**, 3.
8. S. A. Greene. Anal. Chem., 1959, **45**, 3.
9. Л. Н. Хитрин. Физика горения и взрыва. М., изд. МГУ, 1957.
10. Н. А. Каржавина. ЖФХ, 1945, **19**, 10–11.
11. П. А. Теснер, И. С. Рафалькес. Тр. ВНИИГАЗ, Гостоптехиздат, 1951.